



PA12
Poliammide 12


Colori disponibili:

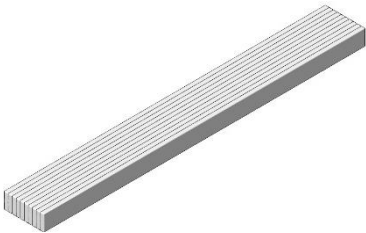
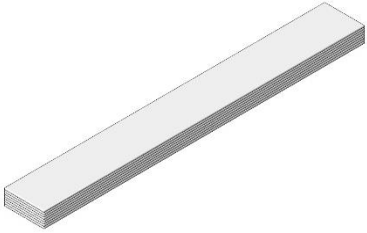


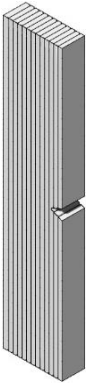
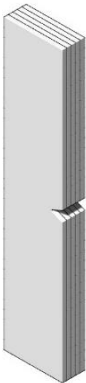
Bianco Naturale

Proprietà	Valore	Standard di riferimento
Densità	1,03 g/cm ³	ISO 1183 – ASTM D792
Temperatura di fusione	178 °C	ISO 11357 – ASTM D3418
Temperatura di inflessione	125 °C	ISO 75 – ASTM D648
Massima temperatura di esercizio	80 – 95°C (continuativo)	ISO 2578 – ASTM D3045
	140°C (intermittente)	ISO 2578 – ASTM D3045
Resistività specifica di volume	1.0·10 ¹³ Ω·cm	IEC 60093 – ASTM D257
Classe di resistenza al fuoco	UL94-HB	ISO 1210 – ASTM D635
Durezza shore	70-D	ISO 868 – ASTM D2240

Settaggi di stampa consigliati	
Temperatura estrusore	250 – 265 °C
Velocità di stampa	40 mm/s
Temperatura piatto	60 – 70 °C
Ventola di raffreddamento	0 %

Prove a trazione	Standard: ISO 527 – ASTM D638		
Provini stampati su stampante Zortrax M200 con i seguenti settaggi: – Estrusore: ottone 0.40 mm – T. estrusione: 250°C – T. piatto: 85°C – V. stampa: 35 mm/s – Ang. riempimento: 45° – Ventola: 0%	xy		
			
Riempimento interno	15%	50%	100%
Resistenza a trazione [Mpa]	20.7	27.4	41.1
Modulo elastico [Mpa]	881.9	1044.0	1529.0
Allungamento a rottura [%]	13.94	25.32	31.30
Tenacità [J]	10.48	27.92	49.70

Prove a flessione	Standard: ISO 178 – ASTM D790			
	zy – parallelo		xy – normale	
Provini stampati su stampante Zortrax M200 con i seguenti settaggi: – Estrusore: ottone 0.40 mm – T. estrusione: 250°C – T. piatto: 85°C – V. stampa: 35 mm/s – Ang. riempimento: 45° – Ventola: 0%				
Riempimento interno	50%	100%	50%	100%
Resistenza a flessione [Mpa]	63.5	75.2	53.3	70.12
Modulo elastico [Mpa]	1255	1518	1140	1371
Deformazione [%]	6.44	6.87	6.68	7.05

Prove ad urto di IZOD	Standard: ISO 180 – ASTM D256			
	zy – normale		xy – parallelo	
Provini stampati su stampante Zortrax M200 con i seguenti settaggi: – Estrusore: ottone 0.40 mm – T. estrusione: 250°C – T. piatto: 85°C – V. stampa: 35 mm/s – Ang. riempimento: 45° – Ventola: 0%				
Riempimento interno	50%	100%	50%	100%
Resistenza di impatto [kJ/m ²]	60.5	36.1	14.1	27.4
Energia di impatto [J]	0.976	1.156	0.450	0.878